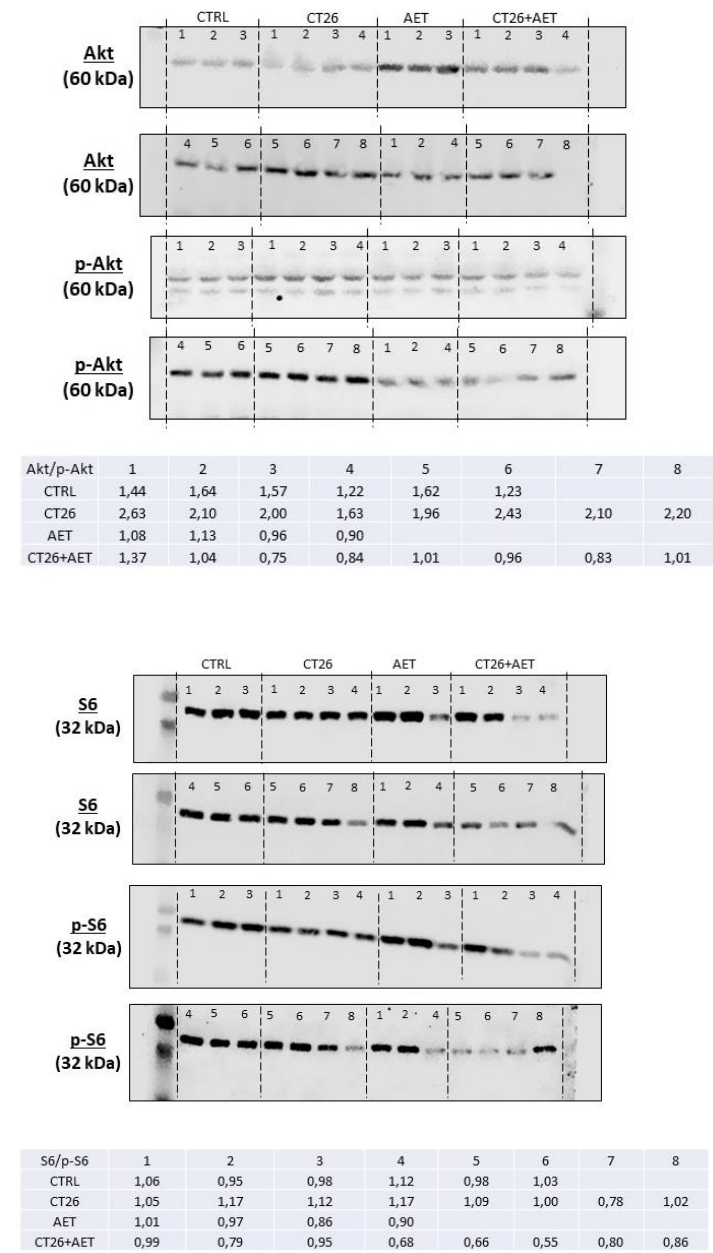
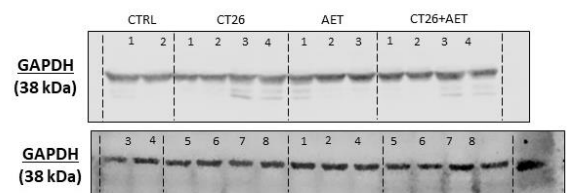
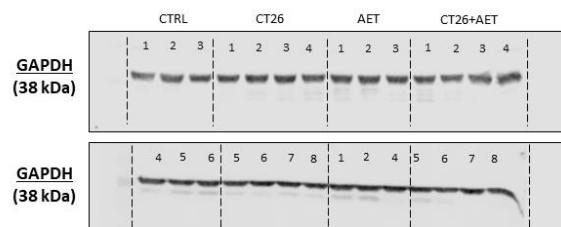
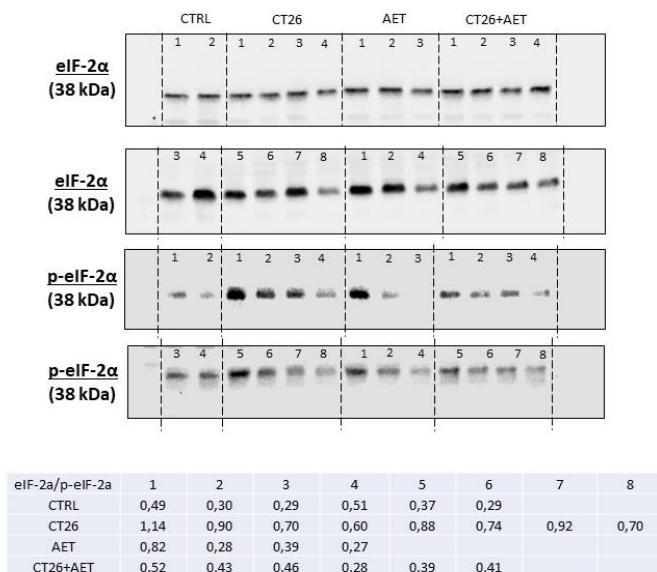
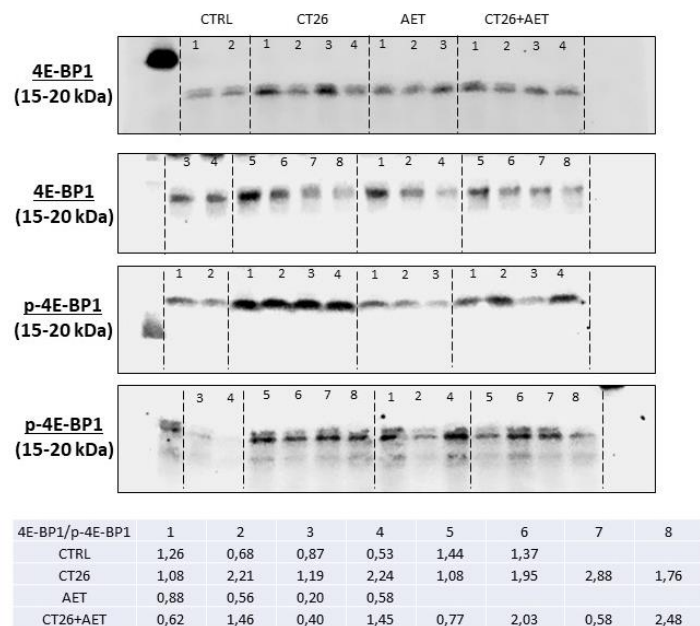
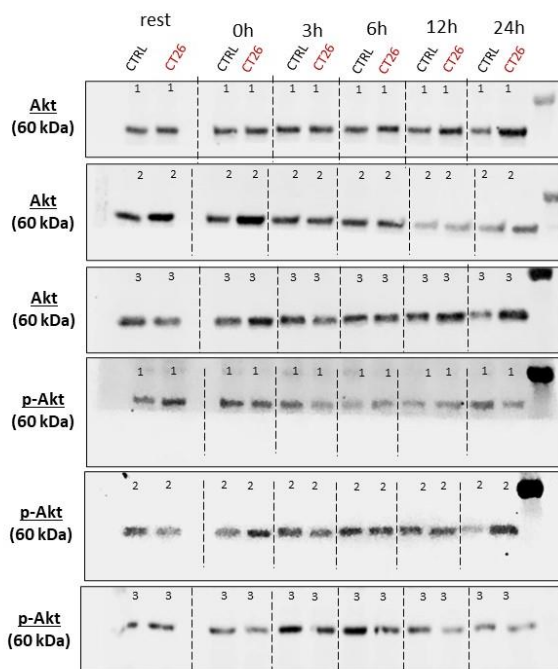


1 – Uncropped western blot of Figure 2 – Aerobic exercise training delays cancer cachexia progression.

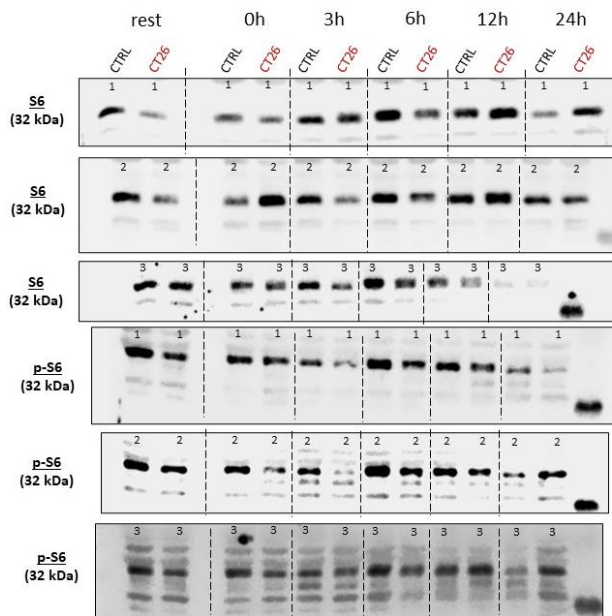




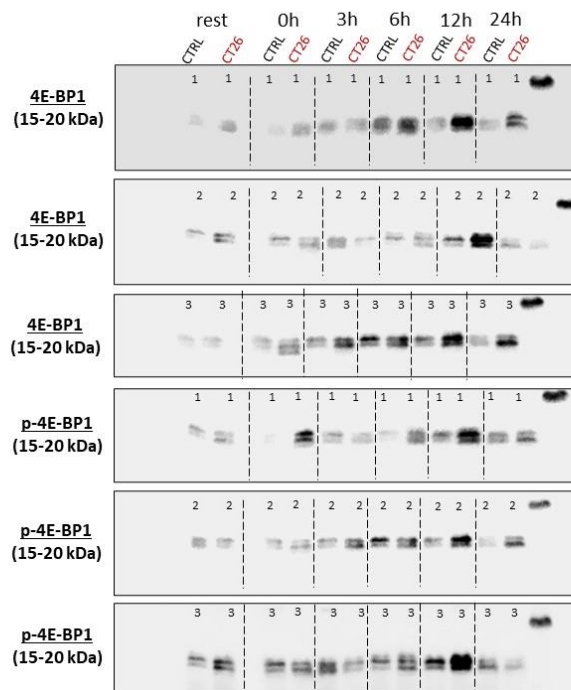
2 – Uncropped western blot of Figure S2 – Single exercise session indicates a better translation initiation process as a possible mechanism to control cancer-related muscle wasting.



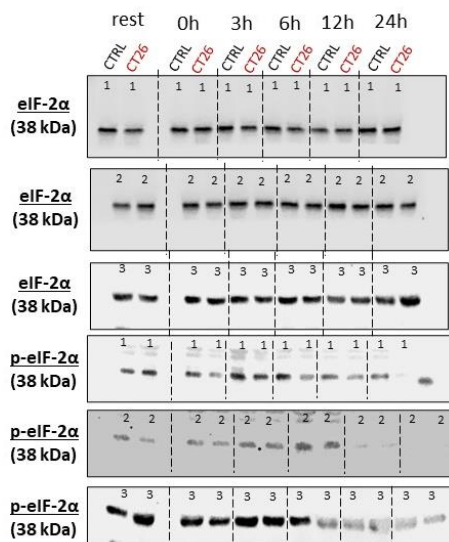
Akt/p-Akt	rest		0h		3h		6h		12h		24h	
	CTRL	CT26	CTRL	CT26	CTRL	CT26	CTRL	CT26	CTRL	CT26	CTRL	CT26
1	1,23	1,82	1,56	1,18	1,15	0,79	0,85	0,95	1,11	0,85	1,95	0,48
2	0,90	1,82	1,42	0,60	0,99	0,75	0,68	0,91	2,57	2,16	2,21	1,05
3	0,93	0,77	0,82	0,93	1,06	1,07	1,29	1,36	1,29	0,88	0,80	1,00



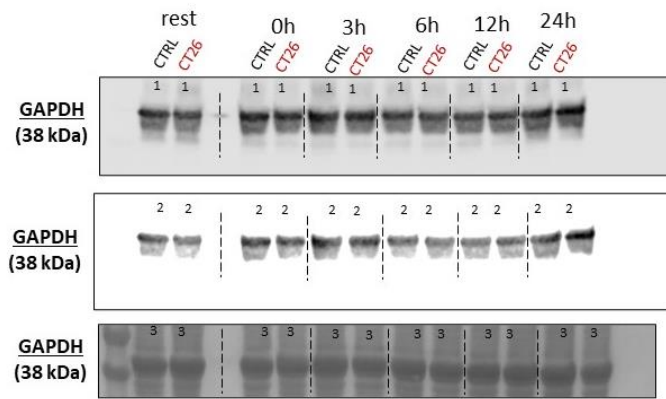
S6/p-S6	rest		0h		3h		6h		12h		24h	
	CTRL	CT26	CTRL	CT26	CTRL	CT26	CTRL	CT26	CTRL	CT26	CTRL	CT26
1	1,48	2,22	1,76	0,70	0,70	0,92	1,11	1,17	0,98	0,62	2,22	1,42
2	2,08	1,20	1,18	0,70	0,72	0,92	0,93	0,40	0,73	0,23	3,43	0,52
3	1,19	0,78	1,03	0,58	0,91	0,46	1,13	1,05	1,24	1,50	2,83	0,97



4E-BP1/p-4E-BP1		rest		0h		3h		6h		12h		24h	
		CTRL	CT26	CTRL	CT26	CTRL	CT26	CTRL	CT26	CTRL	CT26	CTRL	CT26
1		2,60	1,25	0,75	3,52	1,00	0,76	0,85	0,57	1,80	0,94	2,12	0,70
2		2,78	2,15	0,25	0,72	0,58	0,62	2,00	1,09	2,25	2,02	1,80	1,14
3		2,86	1,45	0,72	2,05	2,35	0,70	3,17	2,76	2,03	1,17	2,38	0,62



eIF-2α/p-eIF-2α		rest		0h		3h		6h		12h		24h	
		CTRL	CT26	CTRL	CT26	CTRL	CT26	CTRL	CT26	CTRL	CT26	CTRL	CT26
1		0,30	0,75	0,50	0,20	0,80	0,63	0,60	0,25	0,50	0,25	0,36	0,03
2		0,53	0,74	0,57	0,30	0,80	0,56	0,74	0,35	0,40	0,28	0,46	0,06
3		0,41	0,75	0,53	0,25	0,80	0,59	0,67	0,30	0,45	0,26	0,41	0,04



3 – Uncropped western blot of Figure 4 – Functional and hypertrophic adaptations induced by the Akt activation in cachectic muscles.

